



TECHNISCHE HOCHSCHULE NÜRNBERG
GEORG SIMON OHM

Fakultät
Elektro- & Informationstechnik

Projektarbeit

Roboterformation

Fortführung

Abgabetermin: Nürnberg, den 23.06.2022

Projektteilnehmer:

Cara Bettendorf, Maximilian Dösch, Kevin Heise und Moin Sammari

Dieses Werk einschließlich seiner Teile ist **urheberrechtlich geschützt**. Jede Verwertung außerhalb der engen Grenzen des Urheberrechtsgesetzes ist ohne Zustimmung des Autors unzulässig und strafbar. Das gilt insbesondere für Vervielfältigungen, Übersetzungen, Mikroverfilmungen sowie die Einspeicherung und Verarbeitung in elektronischen Systemen.

Inhaltsverzeichnis

1 Einführung in die Projektarbeit	1
1.1 Einordnung dieser Projektarbeit in das Gesamtprojekt	2
1.2 Zielsetzung der Projektarbeit	2
2 Platinenentwurf	3
2.1 Blockschaltbild	3
2.2 Bauteile	4
2.2.1 ESP32	4
2.2.1.1 Power-Up	5
2.2.1.2 Boot-Mode	5
2.2.1.3 UART0	6
2.2.1.4 JTAG	6
2.2.1.5 I2C	6
2.2.2 CP2102N	6
2.2.3 Pololu 20D 63:1 Getriebemotoren	7
2.2.4 DRV8841	7
2.2.5 Marvelmind Mini-RX	8
2.2.6 WS2815B	8
2.2.7 PI4ULS5V201	9
2.2.8 TPS54331	9
2.3 Schaltplan	10
2.3.1 Hauptschalter und Verpolungsschutz	10
2.3.2 Eingangsquellschutz	10
2.3.3 Reset- und Bootmodeschaltung	11
2.4 Layout	11
2.5 Designfehler	13
2.5.1 3.3V Spannungswandler	13
2.5.2 CP2102N Stromversorgung	13
2.5.3 USB-C Anschluss	14
2.6 Verbesserungen	14
3 3D-Roboterdesign	15
4 Systemarchitektur	16
4.1 Überblick	16
4.2 Applikationsprotokoll	17

4.2.1	Datenpakete	18
4.2.1.1	Initialisierungspaket	18
4.2.1.2	Advertise Paket	18
4.2.1.3	Subscribe Paket	18
4.2.1.4	Keep-Alive Paket	19
4.2.1.5	Publish Paket	19
4.2.2	Anwendungsbeispiel	20
5	Softwarearchitektur auf dem ESP32	21
6	ROS	22
6.1	Softwarearchitektur in ROS	22
6.2	rosbridge-server	22
6.3	Trajektorienplanung	22
7	ROS-Trajektorie	23
7.1	Trajektorienplanung	23
8	Marvelmind	24
8.1	Marvelmind-Aufbau	24
8.2	Probleme in der Nutzung von Marvelmind	24
9	Docker	25
9.1	Docker	26
9.1.1	Einführung und Funktion von Docker	26
9.2	Installation von Docker-Desktop	26
9.3	Unsere Verwendung von Docker	27
9.3.1	Docker-Compose	27
9.3.2	Dockerfile	28
10	Web-App	30
10.1	React	31
11	Fazit & Ausblick	32
11.1	Fazit	32
11.2	Ausblick	32
11.3	Eidesstattliche Erklärung	33

Abbildungsverzeichnis

2.1	Blockdiagramm PCB	3
2.2	ESP32 Pin Layout	5
2.3	ESP32 Pin Belegung	5
2.4	ESP32 Power-Up	5
2.5	Pololu 20D Motor	7
2.6	Pololu 20D Rückplatte	7
2.7	DRV8841 Pinout	7
2.8	DRV8841 H-Brücken Logik	7
2.9	Marvelmind Molex Pinout	8
2.10	Marvelmind Mic Pinout	8
2.11	WS2815B Pinout	8
2.12	TPS54331 Pinout	9
2.13	KiCad Hauptschalter und Verpolungsschutz	10
2.14	KiCad Eingangsquellschutz	10
2.15	KiCad Reset- und Bootmodeschaltung	11
2.16	KiCad MainPCB Layout	12
2.17	KiCad LedPCB Layout	12
2.18	CP2102N Fehlerkorrektur	13
2.19	CP2102N Korrektur Layout	13
4.1	Systemarchitektur	16
4.2	Applikationsprotokoll Anwendungsbeispiel	20

Tabellenverzeichnis

2.1	ESP32 Boot Mode	6
2.2	ESP32 DTR RTS	6
4.1	Applikationsprotokoll Paketarten	18

Listings

3.1	This is an example of inline listing	15
9.1	docker-compose.yml	28
9.2	Dockerfile (rosbridge)	28

Kapitel 1

Einführung in die Projektarbeit

Als ein ansprechendes Modell zum Vorführen bei Messen oder Tag-der-offenen-Tür der Hochschule und des Lehrstuhls wurde das Projekt Roboterformation in Auftrag gegeben. Von Professor Bernhard Wagner betreut, soll im Laufe mehrerer Projektgruppen eine Formation von bis zu zwanzig mobilen Robotern entwickelt werden, die einen gesteuerten Tanz aufführen.

Diese Projektgruppe ist nunmehr das vierte Team, das sich dieser Aufgabe widmet.

An die Ergebnisse unserer Vorgänger Bachelor- und Mastergruppen anknüpfend ist es unser Ziel den bestehenden Roboter zu verbessern und sowohl hardware- als auch softwaretechnisch so auszulegen, damit dieser für die Formation in massentauglicher Stückzahl produziert werden kann. Gleichzeitig ist es das Ziel, dass der Roboter genau einer vorgegebenen Trajektorie folgen kann. Hierbei liegt unser Fokus darin, die Grundlage dazu an einem bis zu maximal zwei Robotern zu schaffen. Der Aufbau von mehreren Robotern als Formation, die synchronisierte Bewegungsabläufe vollziehen, wird erst von nachfolgenden Gruppen bearbeitet werden.

Die Hardware ist durch die vorangegangene Gruppe bereitgestellt worden. Der Aufbau besteht aus zwei Rädern, die jeweils durch einen Motor angesteuert werden. Zusätzlich ist ein Stützrad angebracht, welches aus zwei Kugellagern besteht, sodass eine dreieckförmige Anordnung entsteht. Dadurch kann ein 360 Grad Fahren ermöglicht werden. Der hierzu benötigte Strom wird durch einen Akku mit 5V bereitgestellt.

Die Software wird zweigeteilt ausgeführt. Zum einen wird in einer ROS (Robot Operating System) Umgebung auf einem externen Computer die Trajektorienplanung des Roboters berechnet. Hierbei stellt ROS ein Softwarepaket dar, das viele Bibliotheken mit sich bringt, die das Programmieren eines Roboters deutlich vereinfachen und in verschiedene Nodes aufgeteilt wird. Der Code wird in der Programmiersprache C++ verfasst und sendet dann über sogenannte Publisher Daten an Topics. Der ROS-Server speichert diese Nachrichten und stellt sie anderen Nodes, die dieses Topic abonnieren, den sogenannten Subscribers, zur Verfügung. Zum Bestimmen der Trajektorie werden einzelne Wegpunkte, die der Roboter auf dem Weg zum gewünschten Endpunkt abfahren soll, mit den geeigneten mathematischen Splines ermittelt. Nach der Berechnung wird die Trajektorie als Array mit allen errechneten Punkten und korrespondierenden Zeitwerten an den Mikrocontroller übergeben. Auf diesem findet der zweite Teil der Software-Entwicklung statt.

Als Mikrocontroller verwendet unsere Projektgruppe den 2-Kern Prozessor ESP32. Dieser verfügt über

WLAN, Bluetooth, effizientes Powermanagement und verschiedene Peripherien als Funktionen. Hierüber werden die Motoren angesteuert. Um die Geschwindigkeit einzustellen, wird eine Drehzahlregelung verwendet. Dazu wird an der AuSSenseite des Motors gemessen, wie oft sich das Rad innerhalb einer Sekunde vollständig gedreht hat. Über die ermittelte Drehzahl kann mit der Differenzbildung zum Sollwert die entsprechend benötigte Geschwindigkeit eingestellt werden. Gleichzeitig läuft auf dem ESP32 übergeordnet eine Top Level State machine. Diese bestimmt, ob zu einem gewissen Zeitpunkt Positionen eingelesen oder Trajektorien berechnet wurden und gibt letztlich den Befehl, dass eine Trajektorie ausgeführt werden soll. Da der Roboter und die zukünftige Formation besonders zu Werbezwecken aufgeführt werden soll, wird auch auf eine besonders ansprechende Visualisierung geachtet. Dazu befinden sich auf der Platine über 40 LEDs, die je nach Wunsch in verschiedenen Farben erleuchten. Zudem wurde mittels des 3D-Druckers ein transparentes Gehäuse gedruckt, durch das das LED-Licht gestreut wird. Auch die Ansteuerung des Lichts wird über den Mikrocontroller abgewickelt.

Unsere Webseite stellt die Oberfläche für den Endnutzer zur Verfügung. In den Programmiersprachen CSS und react.js verfasst, bietet sie die Schnittstelle zwischen der Eingabe der gewünschten Zielpunkte, Lichteffekte, manuellen Steuerung des Roboters sowie einer Anzeige der aktuellen Positionen der jeweiligen Roboter. Grundsätzlich kann man sich den Prozessablauf wie folgt vorstellen: Auf einem zentralgesteuerten PC wird die Trajektorie im ROS-System berechnet und über das selbst entwickelte Verbindungsprotokoll an den Mikrocontroller geschickt. Dieser sitzt auf der Platine, die auf dem Roboter aufgebracht ist. Dann setzt sich der Roboter zum angegebenen Ort oder in der vorgegebenen Formation in Bewegung. Dem geht zuvor die Eingabe des gewünschten Punktes auf unserer Webseite einher. Zusätzlich können dort Einstellungen zur Geschwindigkeit und Licht vorgenommen werden.

1.1 Einordnung dieser Projektarbeit in das Gesamtprojekt

Verwendung der durch die Mastergruppe vorgegebenen Regelungen und Trajektoriengenerierung → Integration/Implementierung auf echte Hardware

1.2 Zielsetzung der Projektarbeit

Kapitel 2

Platinenentwurf

Ein Ziel dieser Projektarbeit war die Entwicklung einer Platform, welche alle notwendigen Komponenten kompakt zusammenfasst. Hierfür müssen elektronische Bauteile und mechanische wie Motoren oder 3D-Druckteile gut aufeinander abgestimmt werden. Während auf der einen Seite die Funktionalität des Gesamtsystems wichtig ist, soll andererseits jeder Roboter auch visuell durch ein Array von RGB-Leds auffallen. Mithilfe eines doppel Platinenstack wurde erreicht, dass die Motoren direkt auf die untere Platine (Main_PCB) aufgeschraubt werden können und die Leds auf der oberen Platine (Led_PCB) den richtigen Abstand zum Led-Diffusor haben.

2.1 Blockschaltbild

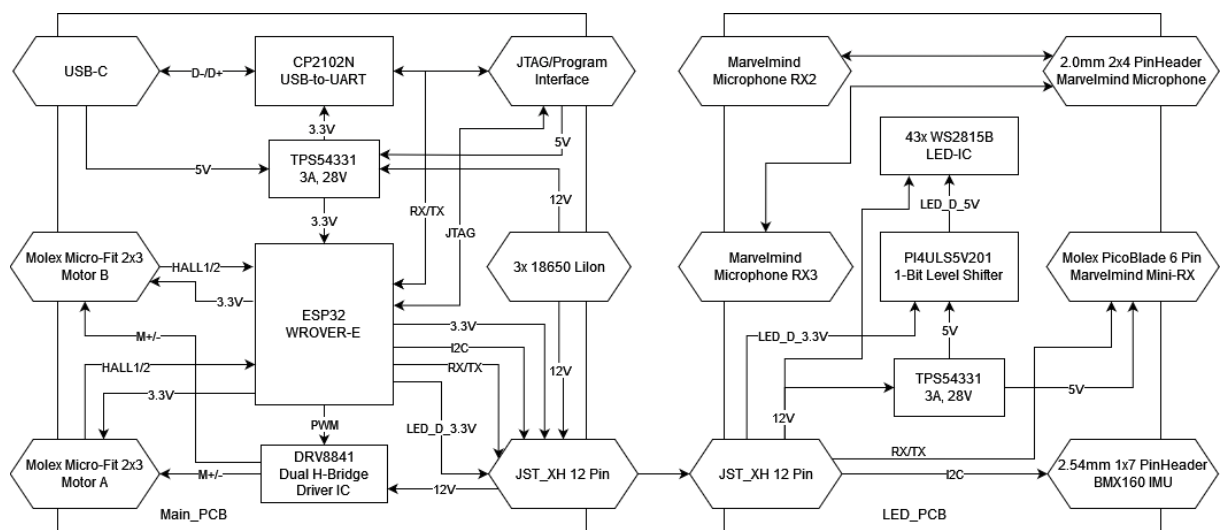


Abbildung 2.1: Blockdiagramm PCB

Das Blockdiagramm zeigt den Leistungs- und Signalfluss zwischen den Bauteilen auf beiden Platinen. Die primäre Stromversorgung übernehmen drei 18650 LiIon Zellen. Diese haben im geladenen Zustand eine Gesamtspannung von $3 * 4.2 = 12.6V$ und können über einen Schalter an- und ausgeschalten werden. Der Roboter ist gegenüber Verpolung aller Zellen geschützt. Für die Versorgung des Mikrocontrollers müssen die 12V mit einem Buck-Converter auf 3.3V gewandelt werden. Außerdem soll der Roboter für

den Test-/Programmierbetrieb auch über die 5V der USB-C oder der JTAG/Programmierschnittstelle stationär betrieben werden können. Hierfür müssen die Spannungen elektronisch getrennt werden, um einen Kurzschluss zwischen den Potentialen zu verhindern. Der ESP32 kann über die USB-C Schnittstelle und eine separate serielle Schnittstelle programmiert werden. Für den 2 Quadranten betrieb der Motoren ist eine doppel H-Brücke vorgesehen. Die Ist-Geschwindigkeit wird über Hallsensoren auf den Bürstenmotoren ermittelt. Auf die zweite Platine wird der Marvelmind Mini-RX Empfänger aufgesteckt. Dieser kommuniziert über UART mit dem Mikrocontroller. Die beiden externen Mikrofone können einfach auf die LED_PCB Platine gelötet werden. Da das Marvelmind Modul 5V benötigt werden diese über einen zweiten Buck-Converter erzeugt. Die 43 RGB Led-ICs werden über die 12V Spannung versorgt und mittels einer Datenleitung vom Mikrocontroller angesteuert. Da die Led Bausteine 5V Logikpegel benötigen, wird das 3.3V Signal vom ESP32 mittels 1-Bit Level Shifter verstärkt.

2.2 Bauteile

2.2.1 ESP32

Das Herzstück des Roboters bildet ein ESP32-WROVER-E in der 8MB Flash Variante. Dieses SOM (System On Module) von Espressif beinhaltet einen Xtensa LX6 Dualcore Mikrocontroller mit 520kB internen und 8MB externen SRAM, sowie 2MB internen und 8MB externen Flash Speicher. Die externen Speicher sind über SPI verbunden und werden über eine MMU (Memory Management Unit) in den Speicherbereich gemappt. Des Weiteren bietet der ESP32 verschiedene Peripherie wie Timer, GPIO, UART, I2C, PWM und Wifi. Espressif stellt mit dem ESP-IDF Framework unter anderem ein Hardwareabstraktions Layer bereit über welches Peripherie leicht initialisiert und gesteuert werden kann. Aus diesem Grund bleibt es dem Programmierer erspart sich mit der Hardware auf Registerebene zu beschäftigen. Dies macht den ESP32 zu einem beliebten IOT-Mikrocontroller im Hobbybereich. Diagramm 2.2 und Tabelle 2.3 beschreibt die Pinbelegung am ESP32.

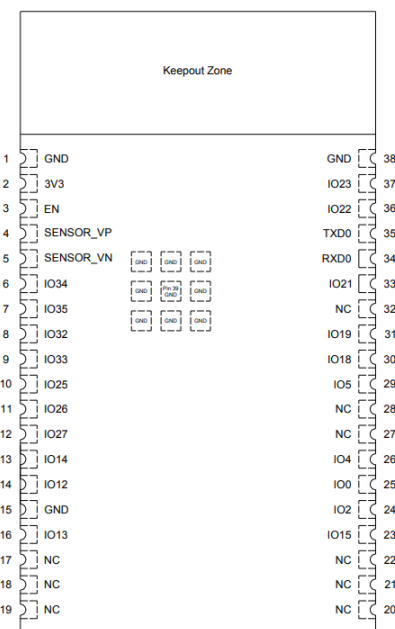


Abbildung 2.2: ESP32 Pin Layout

Name	Pin Nr.	Funktion
GND	1	Ground
3V3	2	Power
EN	3	Enable Signal
Sensor_VP	4	Hall Sensor 1 Motor B
Sensor_VN	5	Hall Sensor 2 Motor B
IO34	6	Hall Sensor 1 Motor A
IO34	7	Hall Sensor 2 Motor A
IO32	8	SCL I2C Bus
IO33	9	SDA I2C Bus
IO25	10	serielles LED Signal
IO26	11	Marvelmind UART TX
IO27	12	Marvelmind UART RX
IO14	13	JTAG_TMS
IO12	14	JTAG_TDI
GND	15	Ground
IO13	16	JTAG_TCK
IO15	23	JTAG_TDO
IO2	24	GPIO2 (sollte nicht verwendet werden, da Strapping Pin)
IO0	25	GPIO0 Boot Mode Selektor
IO4	26	NC
IO5	29	GPIO5 (sollte nicht verwendet werden, da Strapping Pin)
IO18	30	DRV8841 Motor B IN2
IO19	31	DRV8841 Motor B IN1
IO21	33	DRV8841 Motor A IN1
RXD0	34	UART für Programmierung RX
TXD0	35	UART für Programmierung TX
IO22	36	DRV8841 Motor A IN2
IO23	37	DRV8841 Enable
GND	38	Ground

Abbildung 2.3: ESP32 Pin Belegung

2.2.1.1 Power-Up

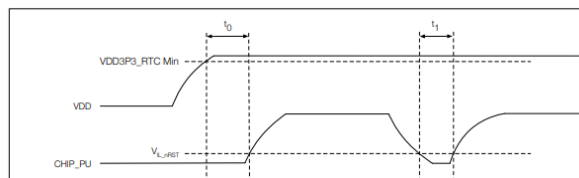


Abbildung 2.4: ESP32 Power-Up

Wie die Illustration 2.4 zeigt muss der Enable Pin (im Datenblatt CHIP_PU genannt) für eine bestimmte Zeit $t_0 = 50\mu s$ nach dem Power-Up auf Low gehalten werden. Das gleiche gilt für den Reset des Mikrocontrollers $t_1 = 50\mu s$. Die Power-Up/Reset Schaltung könnte zum Beispiel als Parallelschaltung eines RC Tiefpasses mit einem Taster umgesetzt werden.

2.2.1.2 Boot-Mode

Der ESP32 verfügt über zwei verschiedene Boot Modis. Beim SPI Boot wird die Firmware aus dem Flash in den Arbeitsspeicher geladen. Der Download Boot dient zum flashen einer neuen Firmware. Für den Wechsel zwischen den Modis wertet der Mikrocontroller beim Power-Up die Strapping Pins GPIO0 und GPIO2 aus.

Pin	Default	SPI Boot	Download Boot
GPIO0	Pull-Up	1	0
GPIO2	Pull-Down	Don't care	0

Tabelle 2.1: ESP32 Boot Mode

Da GPIO2 intern auf LOW gezogen wird, muss dieser Pin nicht verbunden werden. Die Boot Modus Wahl geschieht dann alleine über GPIO0.

2.2.1.3 UART0

Über die Pins UART0-RX/TX wird eine serielle Verbindung erstellt. Diese ermöglicht das Schreiben in den Flash-Speicher im Dowload-Boot und einen seriellen Monitor für z.B. printf Debugging im SPI-Boot.

2.2.1.4 JTAG

TMS, TDI, TCK, TDO können für JTAG-Debugging verwendet werden.

2.2.1.5 I2C

Auf beiden Platinen sind Anschlüsse an den I2C-Bus des ESP32 vorgesehen. Über diesen soll aber primär eine 9DOF-IMU (Intertial Measurement Unit) betrieben werden.

2.2.2 CP2102N

Der CP2102N wirkt als "Übersetzer" zwischen der USB2.0 Fullspeed Schnittstelle und dem UART Interface. Somit kann durch einen Virtual COM Port Treiber am Host-PC über USB- auf die UART-Schnittstelle zugegriffen werden. Die UART Seite wird über die Pins RXD/TXD und das differenzielle USB Signal über die D+/D- Pins mit dem CP2102N verbunden. Dies ermöglicht das Programmieren des ESP32 einfach über USB. Außerdem kann auch auf den seriellen Monitor zugegriffen werden. Des Weiteren kann das RTS (Ready to Send; LOW aktiv) und DTR (Data Terminal Ready; LOW aktiv) Signal zur Auswahl des Boot Modus und Neustarten des Mikrocontrollers verwendet werden. Die folgende Tabelle 2.2 zeigt die notwendige logische Verknüpfung der Signale.

DTR	RTS	EN	GPIO0
1	1	1	1
0	0	1	1
1	0	0	1
0	1	1	0

Tabelle 2.2: ESP32 DTR RTS

2.2.3 Pololu 20D 63:1 Getriebemotoren



Abbildung 2.5: Pololu 20D Motor

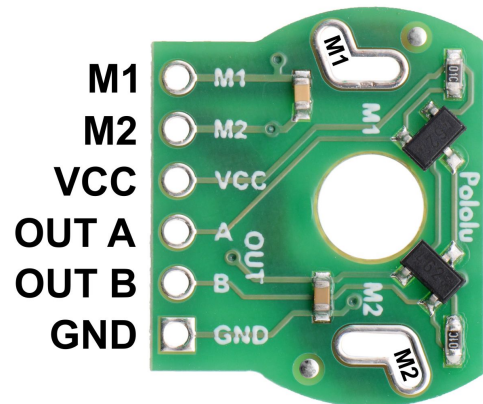


Abbildung 2.6: Pololu 20D Rückplatte

Die Pololu 20D Getriebemotoren sind für 12V Spannung ausgelegt. Dabei haben sie einen Leerlaufstrom von $80mA$ und im Stillstand $1.6A$. Die Leerlaufdrehzahl wird durch das eingebaute Getriebe um den Faktor 63 auf $220RPM$ reduziert. Für Drehzahlmessungen kann der Motor durch eine Platine und eine Magnetscheibe mit 10 Polen an der Motorwelle erweitert werden. Auf der Platine befinden sich jeweils zwei Hall-Magnetfeldsensoren. Diese geben je nach Magnetfeldrichtung einen HIGH oder LOW Spannungspiegel aus. Durch Zählen der Pegeländerungen pro Zeiteinheit kann die Geschwindigkeit des Motors berechnet werden. Die Drehrichtung wird über das Vorzeichen der Phasendifferenz der Signale von den beiden Hallsensoren ermittelt.

2.2.4 DRV8841

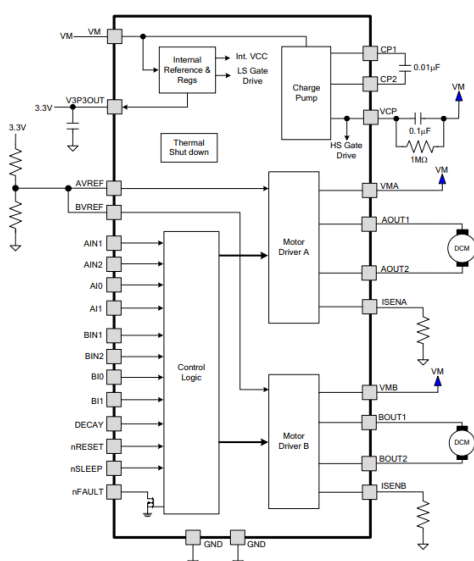


Abbildung 2.7: DRV8841 Pinout

xIN1	xIN2	xOUT1	xOUT2
0	0	L	L
0	1	L	H
1	0	H	L
1	1	H	H

Abbildung 2.8: DRV8841 H-Brücken Logik

Mit der doppel H-Brücke DRV8841 von Texas Instruments können zwei DC-Motoren im 2 Quadranten-Betrieb betrieben werden. Die beiden Motorausgänge (AOUT/BOUT) dürfen jeweils mit bis zu 2.5A belastet werden. Die Pololu 20D Motoren haben einen Stillstandsstrom von maximal 1.6A. Somit sollte der Treiber auch ohne die interne Strombegrenzung sicher betrieben werden können. Dies bedeutet die Pins AI0, AI1, BI0, BI1 müssen nicht verbunden werden, ISENA und ISENB können direkt mit GND verbunden werden und AVREF, BVREF werden auf 3.3V gezogen. Geschwindigkeit und Drehrichtung der Motoren wird über die Pegel und Pulseweite der (AIN1/AIN2; BIN1/BIN2) Eingangssignale gesteuert. Um den Motortreiber zu aktivieren müssen nRESET und nSLEEP auf 3.3V gezogen werden. Des Weiteren ist auch noch ein Bootstrap-Kondensator zwischen den Pins CP1/CP2 als Ladepumpe notwendig.

2.2.5 Marvelmind Mini-RX

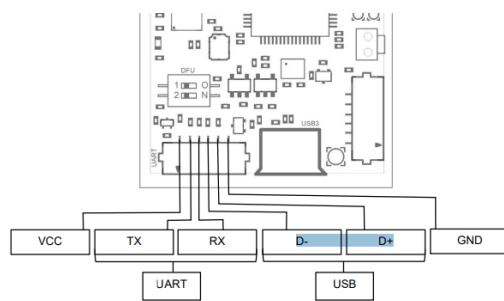


Abbildung 2.9: Marvelmind Molex Pinout

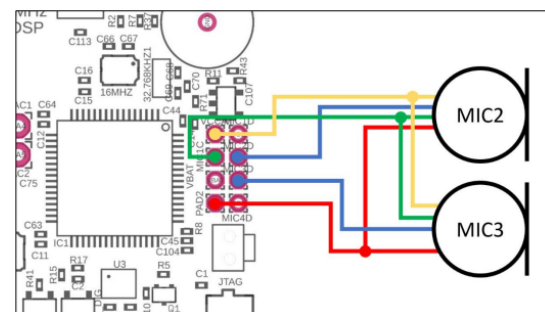


Abbildung 2.10: Marvelmind Mic Pinout

Der Marvelmind Mini-Rx Beacon empfängt die Ultraschallsignale der HW4.9 Beacons für die Berechnung der Pose des Roboters. Über die integrierte UART Schnittstelle kann dann die Pose an den Mikrocontroller gesendet werden. Da durch das Modul effektiv eine dritte Platine entsteht, wurde darauf geachtet diese möglichst platzschonend in den Platinenstack zu integrieren. Hierfür wird das Gehäuse und der eingebaute Akku entfernt. Die Stromversorgung wird über auf der LED Platine erzeugte 5V gewährleistet. Die 5V Spannung sowie die seriellen Signale RX/TX sind über die interne Molex PicoBlade Steckverbindung mit dem Modul verbunden. Da die UART Schnittstelle mit 3.3V Logikpegeln arbeitet kann diese ohne Probleme direkt mit dem ESP32 verbunden werden. Des Weiteren soll das eingebaute Mikrofon durch zwei externe ersetzt werden. Diese sind über das 2.0mm 2x4 Pinout mit dem Mini-RX verbunden 2.10.

2.2.6 WS2815B

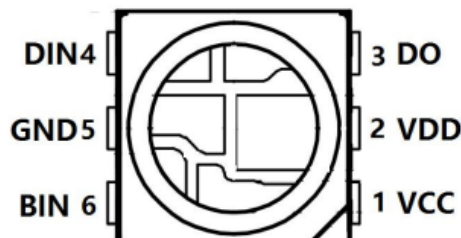


Abbildung 2.11: WS2815B Pinout

Der WS2815B ist eine RGB-Led mit eingebautem LED-Treiber. Dieser Baustein kann über die Pins DO, DIN in Reihe zu einem Led-Array verschalten werden. Der RGB Farbwert wird in einem 24Bit (8Bit grün, 8 Bit rot, 8 Bit blau) Feld codiert. Dieser Wert wird für alle LEDs in einem Datenstrom kaskadiert und an den Eingang DIN der erste LED gesendet. Diese schneidet sich den ersten Farbwert ab und gibt den restlichen Datenstrom über DO an die nächste LED weiter. Somit sind alle Bausteine einzeln adressierbar. Des Weiteren wird 0 und 1 nicht über den Wert der Spannungspegel codiert. Um ein Bit zu übertragen benötigt es zu Beginn eine positive Flanke, dann eine negative und zum Schluss wieder eine positive Flanke. Der Wert wird dann in die Dauer der High und Low-Phasen codiert. Die LED wird mit 12V gespeist. Die Logikpegel der Datensignale arbeiten allerdings mit 5V Spannung. An den VCC Pin kann ein Entkopplungskondensator angeschlossen werden. Außerdem wird der Eingang BIN mit DO der vorletzten LED verbunden und bringt somit Redundanz beim Auffall eines Treibers.

2.2.7 PI4ULS5V201

Da die LED-Treiber 5V Signalpegel benötigen, können diese nicht direkt mit dem ESP32 angesteuert werden. Der PI4ULS5V201 ist ein Level-Shifter IC und kann somit den 3.3V Pegel des ESP32 auf die benötigten 5V verstärken.

2.2.8 TPS54331

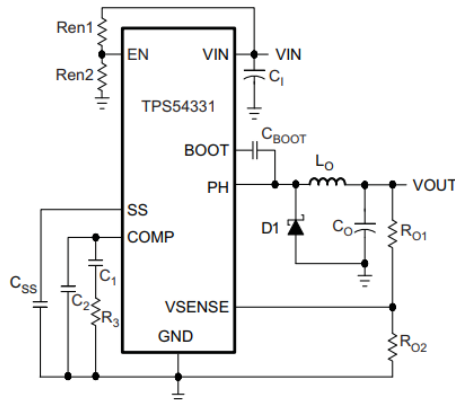


Abbildung 2.12: TPS54331 Pinout

Auf den beiden Platinen gibt es insgesamt drei Spannungen (12V, 5V, 3.3V). Mit dem Buck Converter TPS54331 werden jeweils 5V und 3.3V aus den 12V erzeugt. Da mit 5V und 3.3V keine Leistung gespeist wird, ist der Baustein mit maximal 3A Dauerstrom ausreichend dimensioniert. Abbildung 2.12 zeigt eine typische Verschaltung des Buck Converters. Die Ausgangsspannung kann über die beiden Widerstände R_{D1} und R_{D2} eingestellt werden. Das Datenblatt liefert eine Tabelle für die Dimensionierung aller passiven Bauelemente je nach Eingangs- und Ausgangsspannung. Die beiden Widerstände R_{en1} und R_{en2} am EN Eingang dienen zur Einstellung des erlaubten Spannungsbereiches für VIN und werden mit folgender Formel berechnet:

$$R_{en1} = \frac{V_{start} - V_{stop}}{3\mu A}$$

$$R_{en2} = \frac{1.25V}{\frac{V_{start}-1.25V}{R_{en1}} + 1\mu A}$$

2.3 Schaltplan

Die Schaltpläne für dieses Projekt wurden mit KiCad erstellt. KiCad ist ein freies ECAD Programm unter der GNU GPL Lizenz. Es integriert unter anderem Tools wie einen Schaltplan Editor für Schemata und einen Layout Editor "PCBNew". Die beiden Schaltpläne MainPCB und LedPCB für dieses Projekt liegen als KiCad und PDF Dateien bei. Die Bauteile wurden nach den Vorgaben und Applikationsbeispielen in den Datenblättern verschaltet. Aus diesem Grund wird im Folgenden nur auf Besonderheiten eingegangen.

2.3.1 Hauptschalter und Verpolungsschutz

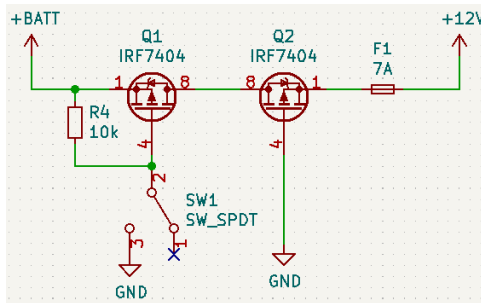


Abbildung 2.13: KiCad Hauptschalter und Verpolungsschutz

Dieser Teil ermöglicht das Anschalten über einen mechanischen Schalter. Außerdem wird die Platine vor Verpolung der LiIon Zellen und Überstrom/Kurzschluss geschützt. Der IRF7404 ist ein PMOS Transistor mit niedrigem Drain-Source Widerstand. Befindet sich der Schalter SW1 in der dargestellten Stellung ist $V_{GS} = 0V$ und der Mosfet sperrt. In der zweiten Schalterstellung wird $V_{GS} = 0V - V_{+BATT} \approx -12V$ und der Mosfet wird leitend. Q2 wirkt als Verpolungsschutz für die gesamte Schaltung. Bei richtiger Polung von V_{+BATT} ist die Body-Diode leitend und $V_{GS} \approx -12V$. Bei Verpolung hat das Transistor Gate das Potential 12V. $V_{GS} < 0V$ ist somit unmöglich und der Mosfet sperrt. Die Sicherung F1 schützt den Rest der Schaltung vor Überlast und Kurzschluss.

2.3.2 Eingangsquellschutz

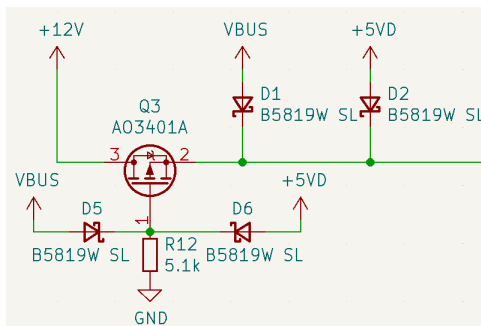


Abbildung 2.14: KiCad Eingangsquellschutz

Die obere Schaltung befindet sich am Eingang des 3.3V Spannungswandlers. Da dieser den Mikrocontroller versorgt, muss der Buck Converter über die LiIon Akkus (12V), USB (5V) und JTAG-/Programmierinterface

(5V) betrieben werden können. Es reicht nicht aus die verschiedenen Spannungsschienen direkt zu verbinden, da sonst die Gefahr eines Kurzschlusses zwischen den Potentialen besteht, wenn mehrere Spannungsquellen gleichzeitig aktiv sind. VBUS und 5VD werden durch Dioden vor Potentialausgleich geschützt. Diese Spannungen werden nur zum Debuggen verwendet. Es fließt nur wenig Strom und der Spannungsabfall über den Dioden ist somit hinnehmbar. Da die 12V den Roboter im Normalbetrieb mit teilweise großer Stromaufnahme versorgen, darf es keinen großen Spannungsabfall über der schützenden Komponente geben. Der PMOS Transistor AO3401 hat einen geringen Drain-Source Widerstand und somit wenig Leistungsverlust bei großem Strom. Sind 12V verbunden schaltet Q3 immer durch da $V_{GS} < 0V$. Falls nur VBUS oder 5VD aktiv ist, wird $V_{GS} = 0V$. Die 12V Schiene bleibt somit Spannungsfrei.

2.3.3 Reset- und Bootmodeschaltung

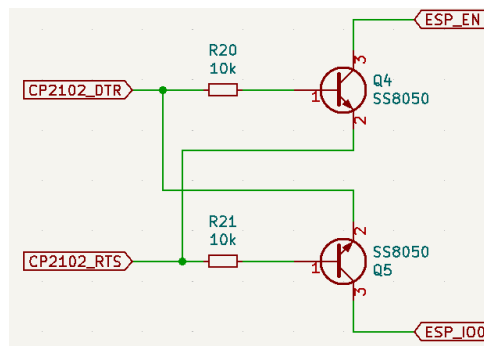


Abbildung 2.15: KiCad Reset- und Bootmodeschaltung

In 2.2.2 wurde gezeigt, dass es möglich ist den ESP32 über das DTR und RTS Signal neu zu starten und den Bootmodus zu wechseln. Die obere Schaltung setzt die hierfür notwendige logische Verknüpfung zwischen DTR/RTS und EN/GPIO0 2.2 um. Die beiden SS8050 sind npn-Bipolartransistoren. Diese Schaltung ist parallel geschaltet zu der Möglichkeit ESP_EN und ESP_IO0 über einen Taster auf GND zu ziehen.

2.4 Layout

Das Layout wurde mit dem Tool PCBNew aus KiCad erstellt. Die MainPCB Platine 2.16 wurde als 4 Layer PCB umgesetzt (1.: Schicht: Signal, 2.: 3.3V, 3.: 12V, 4.: GND) und LedPCB 2.17 als 2 Layer (1.: 12V/Signal, 2.: GND). Bei der Erstellung wurde versucht Angaben in den Datenblättern der Bauteile sowie "Good Practices" des Leiterplattenentwurf zu befolgen. Im Folgenden wird somit nicht weiter darauf eingegangen.

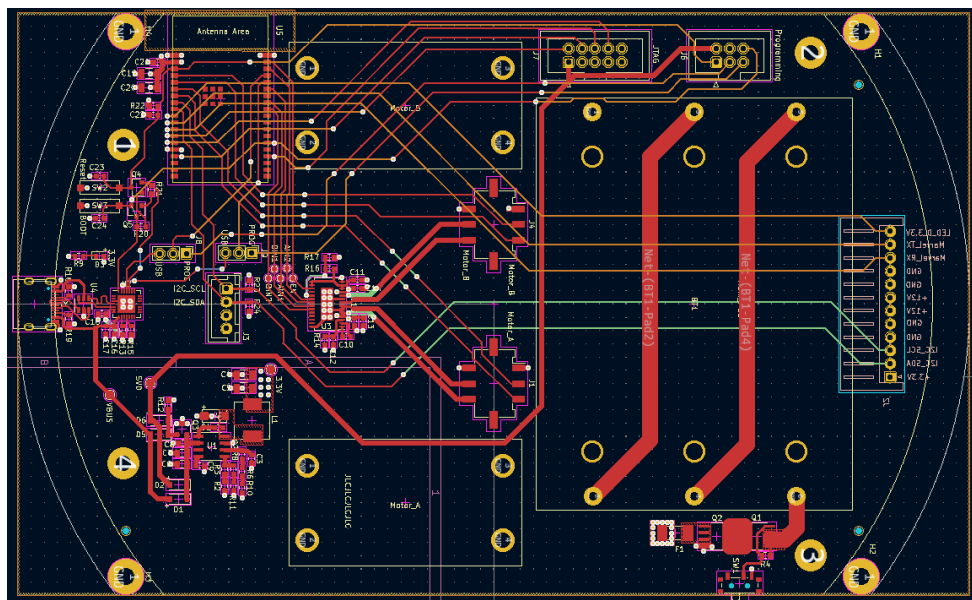


Abbildung 2.16: KiCad MainPCB Layout

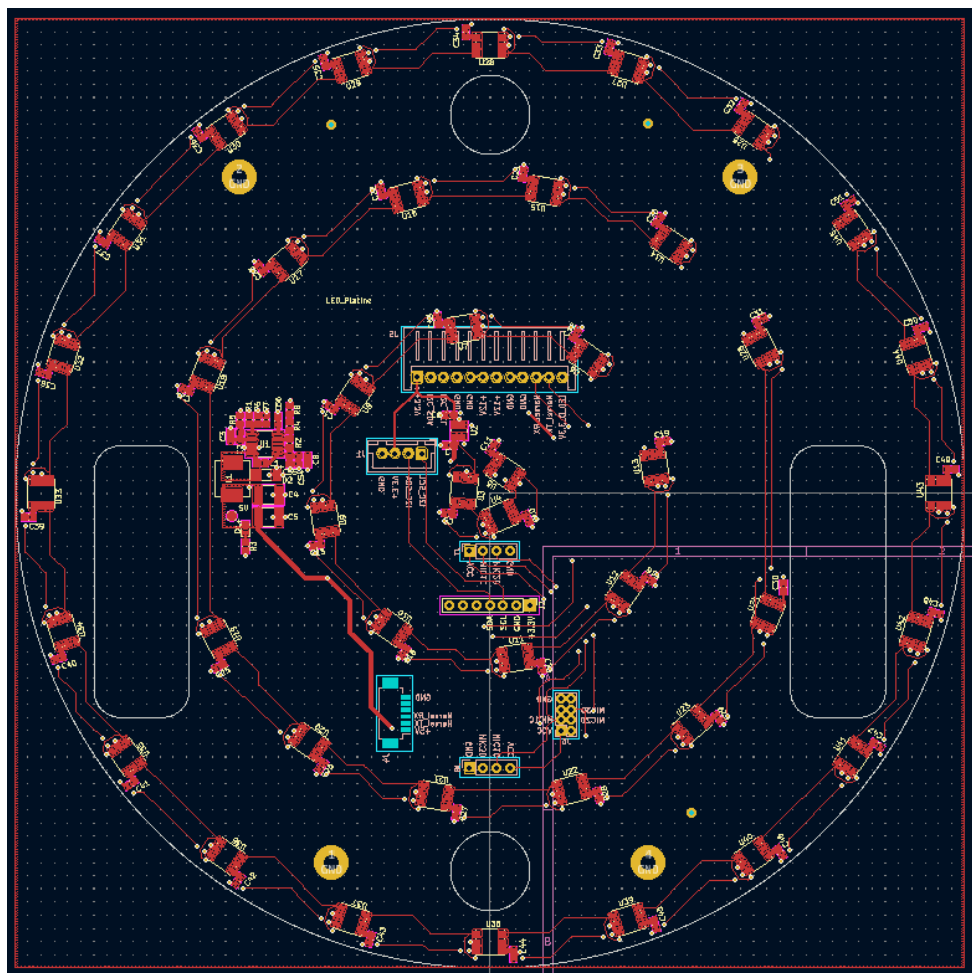


Abbildung 2.17: KiCad LedPCB Layout

2.5 Designfehler

Beim Schaltplan Design wurden leider 3 Fehler gemacht. Diese können allerdings ausgebessert werden oder beeinträchtigen die Nutzung der Platine nur gering. Der Dokumentation liegen einmal das fehlerhafte KiCad Projekt und eines mit ausgebesserten Fehlern bei.

2.5.1 3.3V Spannungswandler

Fehlerbeschreibung: Der 3.3V Spannungswandler schaltet bei der Wandlung von 5V (USB, JTAG-/Programmierinterface) zu 3.3V ab. Die Wandlung von 12V zu 3.3V funktioniert.

Grund: Über den Eingang EN des TPS54331 wird ein Unterspannungsschutz (UVLO) realisiert. Fällt die Spannung an EN unter $V_{EN} = 1.25V$ schaltet der Spannungswandler ab. Wie im Kapitel 2.2.8 beschrieben lässt sich die minimal erlaubt Eingangsspannung über den Spannungsteiler R_{en1} und R_{en2} einstellen. Diese ist für 5V falsch gewählt worden.

Fehlerbehebung: Um den Unterspannungsschutz zu deaktivieren, können die Widerstände $R_{en1} = R1$ und $R_{en2} = R5 + R7$ entfernt werden.

2.5.2 CP2102N Stromversorgung

Fehlerbeschreibung: Der Mikrocontroller startet nicht richtig, wenn die Platine nur über 12V verorgt wird und USB nicht verbunden ist.

Grund: Da der CP2102N direkt über VBUS der USB Schnittstelle versorgt wird, ist der Chip nicht aktiv wenn nur die 12V Versorgung vorhanden ist. Die Ausgangssignale RTS und DTR sind somit "floatend/undefined" und können beim Einschalten der 12V einen Start in den Download Boot-Modus triggern.

Fehlerbehebung: Damit die Ausgänge RTS und DTR immer auf definiertem Pegel sind, muss der CP2102N dauerhaft über die 3.3V versorgt sein. Dazu muss REGIN mit 3.3V verbunden werden. Da der interne 5V zu 3.3V Regulator nicht mehr genutzt wird, kann das Label "CP2102N_VDD" 2.18 auch direkt mit 3.3V verbunden werden. Auf den bestehenden Platinen kann der Fehler behoben werden indem der CP2102N Chip abgelötet wird und die Leiterspur zwischen VBUS und REGIN aufgetrennt wird. (Abbildung 2.19 grün) Anschließend muss REGIN mit VDD verbunden werden (Lötbrücke) und mithilfe von z.B. einem Kupferdraht mit 3.3V versorgt werden. (Abbildung 2.19 blau)

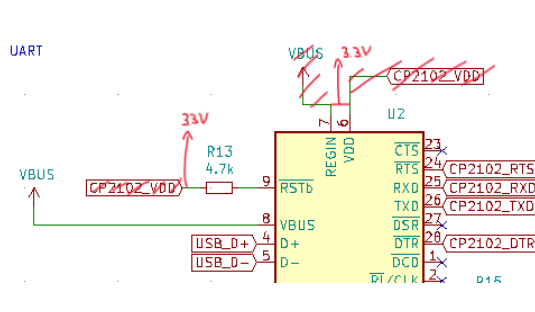


Abbildung 2.18: CP2102N Fehlerkorrektur

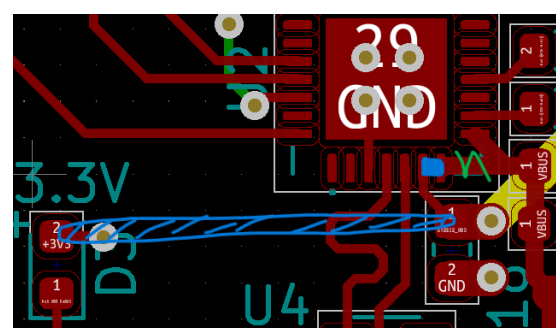


Abbildung 2.19: CP2102N Korrektur Layout

2.5.3 USB-C Anschluss

Fehlerbeschreibung: Die Signalübertragung über USB-C funktioniert nur in einer Steckrichtung.

Grund: Die Pins B6 und B7 wurden nicht mit D+/D- auf der Platine verbunden.

Fehlerbehebung: Da die Lötstellen an der USB Buchse sehr klein sind, ist es nur schwer möglich eine Brücke zu löten.

2.6 Verbesserungen

In zukünftigen Projektarbeiten wird die Platine wahrscheinlich weiter entwickelt. Im Folgenden sollen deshalb mögliche Verbesserungsvorschläge aufgelistet werden.

- Da das Ziel des Gesamtprojektes eine Roboterformation mit möglichst vielen einzelnen Robotern ist, muss zukünftig die Ladeinfrastruktur möglichst einfach gehalten werden. Aus diesem Grund ist es sinnvoll die Ladeelektronik für die LiIon Zellen direkt in die Platine zu integrieren. Über USB-C Power Delivery könnten die Roboter dann sehr einfach geladen werden.
- Momentan ist das Main_PCB als 4 Layer Platine ausgelegt. Um die Kosten der einzelnen Platine zu senken, sollte das Layout auf 2 Layer reduziert werden.
- Die Pinbelegung 2.2 des ESP32 zeigt, dass es kaum mehr freie Pins am Mikrocontroller gibt. Die Regelung der Motoren belegt alleine neun dieser Pins. Diese könnte auf einen zweiten/sekundären Mikrocontroller ausgelagert werden. Somit würden wieder mehr Pins am ESP32 nutzbar sein. Außerdem wird die ESP32 Software-Architektur vereinfacht und Rechenleistung für zukünftige Software Erweiterungen frei.

Kapitel 3

3D-Roboterdesign

In this chapter, we're actually using some code!

```
1 x = 1
2 if x == 1:
3     # indented four spaces
4     print("x is 1.")
```

Listing 3.1: This is an example of inline listing

You can also include listings from a file directly:

Kapitel 4

Systemarchitektur

4.1 Überblick

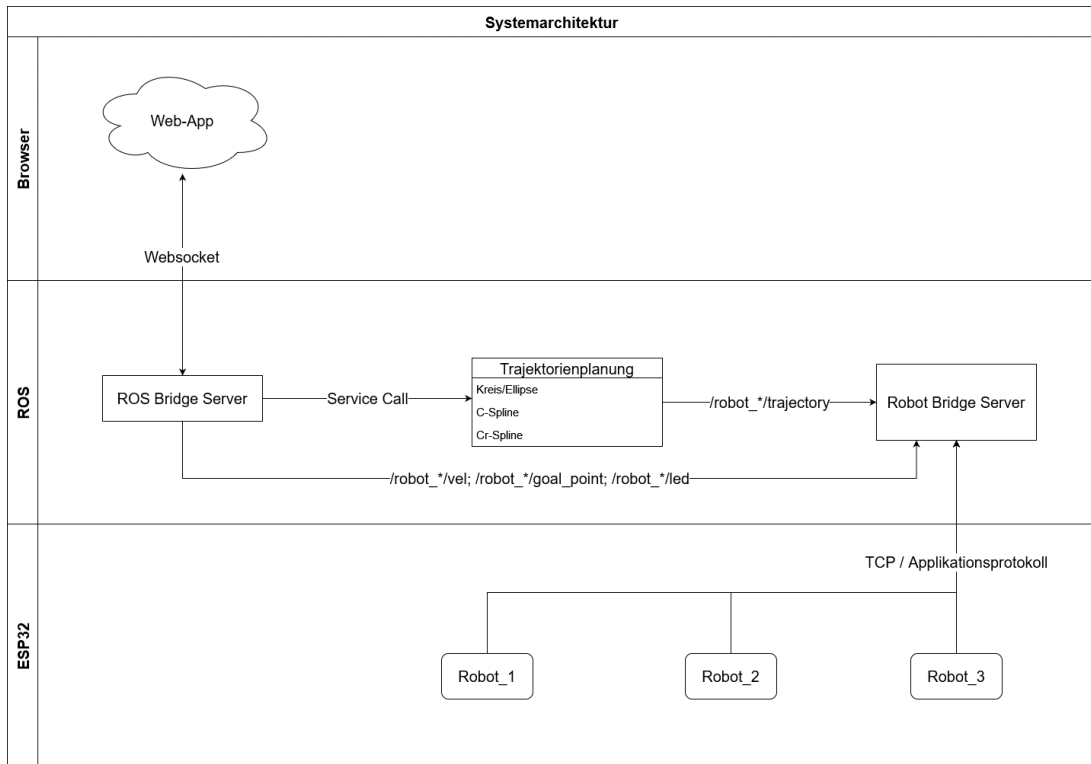


Abbildung 4.1: Systemarchitektur

Dieses Kapitel soll einen Überblick über den Aufbau und die Kommunikation zwischen den Software Modulen in diesem Projekt geben. Für genauere Informationen wie z.B. zur Implementierung wird auf das Kapitel 5 und Kapitel 6 verwiesen. Die Abbildung 4.1 zeigt, dass sich das Gesamtsystem in drei Teile aufteilen lässt. Diese unterscheiden sich durch den Ausführungs Ort der jeweiligen Software.

Jeder Roboter wird durch einen ESP32 Mikrocontroller gesteuert. Die Firmware auf den Robotern ist identisch bis auf eine Stringkonstante im Flash des Mikrocontrollers. Dieser Name des Roboters dient als eindeutiges Identifikationsmerkmal für die oberen Softwareschichten. Über die Wifi Schnittstelle verbindet

sich der Mikrocontroller mit einem WLAN Access Point und kann somit eine TCP Verbindung mit einem Rechner im Netzwerk aufbauen.

Dieser TCP Server ist eine ROS Node und stellt über ein eigenes Applikationsprotokoll ein Interface zwischen ROS Topics und ESP32 bereit. Mit der entsprechenden TCP Client Task auf dem ESP32 wirkt es so als wäre der Mikrocontroller direkt in das ROS Netzwerk eingebunden. Es werden somit Roboterposition "gepublisht" und Topics wie Robotergeschwindigkeit, Zielpunkt, LED-Farben/Muster und Trajektorien durch den Roboter "subscribed". Der Hintergedanke zur Verwendung des ROS Frameworks ist die Auslagerung der rechenleistungsintensiven Trajektoriengenerierung von Mikrocontroller auf einen leistungsstarken Rechner. Der Roboterschwarm wird somit zentral durch ROS koordiniert. Während in diesem Projekt nur einfache Trajektorien unabhängig von den einzelnen Roboterpositionen generiert werden können, sollte dies zukünftig durch eine komplexe Multiroboterpfadplanung ersetzt werden. Die ROS Nodes tauschen sich über Topics aus. Damit zwischen den einzelnen Roboter unterschieden werden kann, besteht der Topicname aus einem Namespace und der Topicbezeichnung:

/namespace/topicbezeichnung

Der Namespace ist die Identifikationskonstante im Flash des ESP32 und wurde meist auf *robot_* + Nummerierung gesetzt.

Damit das Gesamtsystem über eine benutzerfreundliche Schnittstelle einfach bedient werden kann, wurde eine Webb-App entwickelt. Die Webb-App läuft über den Browser auf verschiedenen Endgeräten und kommuniziert über das Websocket Protokoll mit einer weiteren ROS Node. Ursprünglich war geplant die Trajektoriengenerierung über ROS Service Calls aus der Webbapp zu steuern. Dies konnte allerdings nicht mehr umgesetzt werden. Das gleiche gilt für das Anzeigen der Roboterpose und setzen von Zielpunkten. Zum Ende der Projektarbeit ist es möglich die Robotergeschwindigkeit und LED Muster/Farben über das Web Interface zu steuern.

4.2 Applikationsprotokoll

Für die Kommunikation zwischen Mikrocontroller und Host Rechner wurde ein eigenes Applikationsprotokoll entwickelt. Dieses soll als virtuelles Interface zwischen ROS und dem ESP32 wirken damit diese mithilfe von ROS Topics miteinander kommunizieren können. Für den Entwickler soll sich somit das SSubscriben" und "Advertisen" von Topics auf dem Mikrocontroller anfühlen wie in einer normalen ROS Applikation. Eine wichtige Hauptaufgabe des Protokolls im Projekt ist allerdings die Übertragung der Trajektorien über die Topic */robot_*/trajectory*".

Eine wichtige Überlegung für den Aufbau des Protokolls war die Entscheidung zwischen UDP oder TCP als Transportunterschicht. Das User Datagram Protokoll ist ein verbindungsloses Protokoll. Es garantiert somit nicht die sichere, verlustfreie Übertragung der Nutzdaten. Da es zu keinen Neuübertragungen kommt, hat es geringe Latenzzeiten und eignet sich somit super zur Übertragung von Echtezeitdaten wie die Position des Roboters. Die Hauptaufgabe des Protokolls in diesem Projekt ist die Übertragung von Kilobyte groSSen Trajektorien. Diese erfordert eine zuverlässige Verbindung ohne Datenverluste. Des Weiteren ist eine Übertragung der Daten in Echzeiteit gut, aber nicht unbedingt erforderlich. Das Transmission Control Protocol baut eine virtuelle Verbindung zwischen Server und Client auf und garantiert somit eine verlustfreie Übertragung der Daten. Aus diesem Grund wurde TCP als Transportunterschicht für das eigene Protokoll verwendet. In diesem Kapitel wird der Aufbau des Protokolls beschrieben. Für die genaue Implementierung der Server und Client Seite wird auf die Kapitel 5 und 6 verwiesen.

4.2.1 Datenpakete

Die Kommunikation mit dem Applikationsprotokoll ist Paketbasierend. Diese müssen von der Software im Server oder Client aus dem TCP Datenstrom gefiltert werden. Das Protokoll definiert insgesamt 5 verschiedene Pakete:

ID	Paketname
0x01	Initialisierungspaket
0x02	Advertise Paket
0x03	Subscribe Paket
0x04	Keep-Alive Paket
0x05	Publish Paket

Tabelle 4.1: Applikationsprotokoll Paketarten

Jedes Paket beginnt mit der jeweiligen Identifikationsnummer. Der restliche Aufbau ist Paketabhängig. Im Folgenden der Aufbau und der Nutzen der unterschiedlichen Pakete erklärt werden.

4.2.1.1 Initialisierungspaket

Das Initialisierungspaket ist das erste Paket, das nach Aufbau der TCP Verbindung vom Client an den Server geschickt wird. Dabei überträgt es den Roboternamen, der von der ROS Server Node als Topic Namespace genutzt wird. Das Initialisierungspaket wird nur vom Client an den Server geschickt werden.

0x01	Robotename	'\0'
1 Byte	x Bytes	1 Byte

4.2.1.2 Advertise Paket

Das Advertise Paket entspricht dem Aufruf der ROSCPP Methode `advertise()`. Dieses Paket kann nur vom Client an den Server geschickt werden. Dabei fordert dieser den Server dazu auf die übermittelte Topic mit dem übermittelten Nachrichtentyp in ROS zu "advertisen". Erst nach dem Advertise Paket dürfen Nachrichten von der entsprechenden Topic mit dem Publish Paket verschickt werden.

0x02	Topic Name	'\0'	Nachrichtentyp	'\0'
1 Byte	max. 32 Bytes	1 Byte	max. 32 Bytes	1 Byte

4.2.1.3 Subscribe Paket

Ähnlich wie das Advertise Paket teilt das Subscribe Paket dem Server mit dass der Client eine Topic mit dem entsprechenden Nachrichtentyp "subscribe" möchte. Auch das Subscribe Paket wird nur vom Client an den Server geschickt. Der Server darf erst nach dem er ein Subscribe Paket zu einer Topic empfangen hat, Publish Pakete an den Client weiterleiten.

0x03	Topic Name	'\0'	Nachrichtentyp	'\0'
1 Byte	max. 32 Bytes	1 Byte	max. 32 Bytes	1 Byte

4.2.1.4 Keep-Alive Paket

Das Keep-Alive Paket wird alle $500ms$ vom Client an den Server und vom Server an den Client geschickt. Empfängt eine der beiden Seiten kein Keep-Alive für $3000ms$ wird ein Verbindungsabbruch festgestellt. Dies ist vor allem notwendig wenn keine Nutzdaten übertragen werden und zum Beispiel der Client abstürzt. Der Server wird nach drei Sekunden feststellen, dass keine Keep Alive Pakete vom Client kommen und die TCP Verbindung schließen. Zusätzlich wird ein Zeitstempel des jeweiligen Senders an den Empfänger übertragen. Dieser kann z.B. zur Zeitsynchronisation zwischen ROS und Roboter verwendet werden.

0x04	Zeitstempel in μs
1 Byte	8 Bytes (uint64_t)

4.2.1.5 Publish Paket

Das Publish Paket dient der eigentlichen Übertragung von Nutzdaten vom Client zum Server und vom Server zum Client. Durch das Feld "Topic Name" können die Daten einer durch das Subscribe- und Advertise-Paket initialisierten Topic zugeordnet werden. Der Datenteil des Pakets unterscheidet zwischen Array- und Strukturdaten.

Strukturdaten serialisieren den ROS Nachrichtentyp der jeweiligen Topic. Auf das serialisieren und deserialisieren der Nachrichten wird genauer in den Kapiteln 5 und 6 eingegangen.

0x05	Topic Name	Strukturdaten
1 Byte	max. 32 Bytes	x Bytes

Arraydaten werden in diesem Projekt für die Übertragung der Trajektorien und zur Übertragung des ROS Nachrichtentyp std_msgs::String verwendet. Nach dem Topic Namen folgt ein Feld für die jeweilige Arraylänge. Dieses beinhaltet die Größen des Arrays in Bytes.

0x05	Topic Name	Arraylänge in Bytes	Arraydaten
1 Byte	max. 32 Bytes	4 Bytes (int32_t)	x Bytes

4.2.2 Anwendungsbeispiel

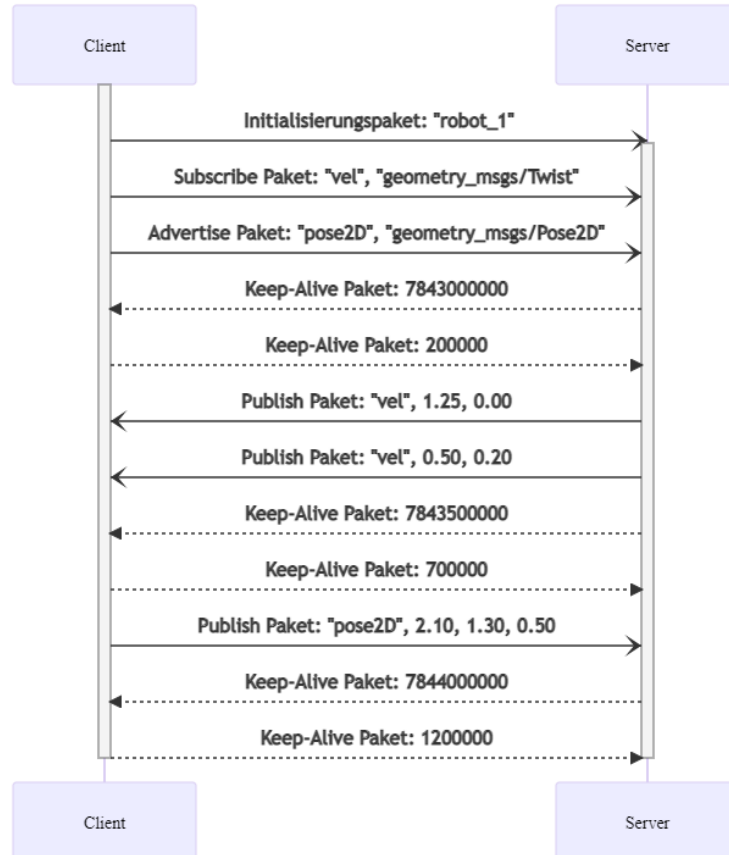


Abbildung 4.2: Applikationsprotokoll Anwendungsbeispiel

Die Abbildung 4.2 zeigt eine typische Kommunikation zwischen Client und Server. Der Client startet die Verbindung mit dem Initialisierungspaket und teilt dem Server mit welche Topics er Subscriben und advertise will. Alle 500ms tauschen beide Seiten ihr Keep-Alive Paket mit dem jeweiligen Zeitstempel aus. Daten zu den Topics werden mithilfe des Publish Pakets vom Client zum Server oder vom Server zum Client geschickt. Ein Verbindungsabbruch würde durch ein fehlendes Keep-Alive bemerkt werden. Das Verhalten beider Seiten in diesem Fall wird in den Kapiteln 5 und 6 beschrieben.

Kapitel 5

Softwarearchitektur auf dem ESP32

Kapitel 6

ROS

6.1 Softwarearchitektur in ROS

6.2 rosbridge-server

6.3 Trajektorienplanung

Kapitel 7

ROS-Trajektorie

7.1 Trajektorienplanung

Kapitel 8

Marvelmind

8.1 Marvelmind-Aufbau

8.2 Probleme in der Nutzung von Marvelmind

Kapitel 9

Docker

Zur Vereinfachung des Arbeitsflusses und Ordnung einzelner Softwarekomponenten wurde **Docker** und **Docker Compose** verwendet.

Im folgenden Kapitel wird nun die Funktion und Vorgehensweise während der Nutzung von **Docker** erklärt.

9.1 Docker

9.1.1 Einführung und Funktion von Docker

Docker ist eine offene Plattform für die Entwicklung, Bereitstellung und Ausführung von Anwendungen. Dabei verpackt Docker die Software in standardisierte Einheiten, sogenannte Container. Diese enthalten alles, was zum Ausführen der Software erforderlich ist, wie Bibliotheken, Systemtools, Code und Laufzeit.¹

Docker führt also Container aus. Dabei fungiert ein Container als eine Art von Virtueller Maschine. Allerdings ist hier der Aufbau relativ leicht, da dieser nicht virtualisiert ist und auf dem selben Kernel läuft. Gleichzeitig ist der Container trotzdem abgeschottet, was dem Prinzip des Sandboxing² ähnelt.

Dabei erstellt man Container von einem Abbild. Diese kann man selbst erstellen und nennt man Container-Image. Der groSe Vorteil ist, dass man Container letztlich wie Rezepte zum Beschreiben verwendet, die ein leichtes Installieren der Software garantieren.

Eine Erweiterung stellt Docker Compose dar. Dies erlaubt uns einen kompletten Stack zu beschreiben, also ganze Ansammlungen von Containern (und nicht nur einzelne Container) zusammen zu starten oder mit denen zu kommunizieren.

Bei einem Start des Projekts muss nur das repository gecloned werden und ein Befehl gestartet werden. Diese Art zu Arbeiten ermöglicht einen schnellen Workflow.

9.2 Installation von Docker-Desktop

1. Stellen Sie zunächst sicher, dass Windows auf dem neuesten Stand ist

- Geben Sie in der Windows-Suche "Windows Update" ein und wählen Sie **Windows Update-Einstellung**.
- Sie sollten ein grünes Häkchen sehen und SSie sind auf dem neuesten Stand". Falls nicht, klicken Sie auf "Nach Updates suchen". Sie müssen diesen Vorgang so lange wiederholen, bis Sie keine Updates mehr zu installieren haben.

2. Installation von **WSL2**

- Geben Sie in der Windows-Suche "powershell" ein, klicken Sie mit der rechten Maustaste auf **Windows PowerShell** und dann auf **Als Administrator ausführen**.
- Klicken Sie auf "Ja", um PowerShell zu erlauben, Änderungen an Ihrem Gerät vorzunehmen.
- Führen Sie im Windows PowerShell-Fenster den Befehl "wsl --install -d Ubuntu" aus.

¹ weitere Infos unter <https://docs.docker.com/get-started/overview/>

²Sandboxing ist eine Softwareverwaltungsstrategie, die Anwendungen von wichtigen Systemressourcen und anderen Programmen isoliert. Sie bietet eine zusätzliche Sicherheitsebene, die verhindert, dass sich Malware oder schädliche Anwendungen negativ auf Ihr System auswirken.

Nähere Infos unter: <https://techterms.com/definition/sandboxing>

- Aktivieren Sie anschlieSSend die Plattform für virtuelle Maschinen. Im Windows PowerShell ausführen. (kopieren und einfügen) "dism.exe /online /enable-feature /featurename:VirtualMachinePlatform /all /norestart".
 - Laden Sie das [WSL2 Linux-Kernel-Update-Paket](#) für x64-Maschinen herunter und installieren Sie es.
 - Windows neu starten.
 - Geben Sie nochmal in der Windows-Suche "powershell&in, klicken Sie mit der rechten Maustaste auf **Windows PowerShell** und dann auf **Als Administrator ausführen**.
 - Führen Sie im Windows PowerShell-Fenster den Befehl "wsl --set-default-version 2&aus.
 - Als nächstes installieren Sie eine Linux-Distribution aus dem [Microsoft Store](#). Ich empfehle [Ubuntu 20.04.4 LTS](#) .(Das Herunterladen und Installieren wird einige Minuten dauern)
 - Sie werden aufgefordert, einen Linux-Benutzer einzurichten. Am besten Verwenden Sie dafür denselben Benutzernamen, den Sie für Windows verwenden.
 - Sie können nun Linux-Befehle im Ubuntu-Terminalfenster ausführen. Ich empfehle, das Ubuntu-Symbol an die Taskleiste zu heften.
3. Jetzt können Sie [Docker Desktop](#) für Windows installieren
- Führen Sie das Installationsprogramm aus und starten Sie anschlieSSend Windows neu.
 - Melden Sie sich bei Windows an und starten Sie Docker-Desktop. Lassen sie Docker die Einrichtung abschlieSSen, dies kann je nach Rechner einige Minuten dauern.

9.3 Unsere Verwendung von Docker

9.3.1 Docker-Compose

Sämtliche Software, die in unserem Projekt ausgeführt wird, läuft in Docker-Containern. Im folgenden werden die **Docker Compose**-Befehle, welche wir in unserem *dokcer-compose.yml* Datei verwenden aufgeführt erklärt.

```

1 version: '3.9' #Compose file format wird definiert, hierfuer wird Docker Engine 19.03.0 und hoeher verwendet
2 networks: #Mit diesen Befehlen erzeugen wir ein Netzwerk names rosnet
3   rosnet:
4
5 services: #Unter services werden die einzelnen Containern definiert
6
7 master: #Hier wird ein Container mit dem Namen "master" angelegt
8   image: ros:noetic-robot # Als image wird hier "ros:noetic-robot" aus Docker-Hub verwendet
9   command:
10     - roscore #Mit command wird der Befehl "roscore" in der Kommandozeile ausgefuehrt
11 networks:
12   - rosnet #networks definiert das Netzwerk des masters
13
14 #Da, die Einstellungen und Befehle von den letzten zwei Container sich aehneln, wird es nur fuer ein
15 #Container erklaert.
16 rosbridge: #Hier wird ein Container mit dem Namen "rosbridge" angelegt
17   build:
18     context: ./rosbridge #Als image, bzw build wird hier zu einem Dockerfile navigiert, welche unter dem
19       Verzeichnis "./rosbridge" befindet
20   environment:
21     - "ROS_HOSTNAME=rosbridge"
22     - "ROS_MASTER_URI=http://master:11311" #Unter environment werden Environmentvariablen festgelegt, in
23       dem Fall wie der HOSTNAME des Containers lautet und wo sich der master im Netzwerk befindet
24 networks:
25   - rosnet
26 depends_on:
27   - master #Der Container faehrt erst hoch, wenn der master bereits laeuft und schaltet sich vorm
28     master aus
29 ports:
30   - 9090:9090 #Hier werden Ports in diesem Form (HOST-PORT:CONTAINER-PORT) nach aussen freigegeben
31
32 rosrobotbridge:
33   build:
34     context: ./rosrobotbridge
35   environment:
36     - "ROS_HOSTNAME=rosrobotbridge"
37     - "ROS_MASTER_URI=http://master:11311"
38 networks:
39   - rosnet
40 depends_on:
41   - master
42 ports:
43   - 2888:2888

```

Listing 9.1: docker-compose.yml

9.3.2 Dockerfile

Im Unterkapitel Docker-Compose werden in einem *dokcer-compose.yml* Datei mehrere build-Befehle aufgerufen, welche zu dem eigentlichen *Dockerfile* navigieren und diesen als Hauptimage bauen. Im folgenden werden die Befehle aus dem *Dockerfile* und deren Funktionen abhand eines Beispiels aus unserem Projekt erklärt und geschildert.

```

1 FROM ros:noetic-robot #Hier wird ein bereits vorhandenes Image aus dem Dockerhub aufgerufen und als Basis
  verwendet

```

```
2 RUN apt-get -y update #Mit dem RUN-Befehl werden Befehle in der Kommandozeile ausgefuehrt
3 RUN apt-get -y upgrade # -y sorgt dafuer, dass wenn es nach dem ausfuehren von dem Befehl eine JA-NEIN-
   Frage erscheinen soll, diese automatisch mit JA bzw YES beantwortet wird
4 RUN apt-get -y install ros-noetic-rosbridge-server
5 COPY ./start.sh start.sh #COPY-Befehl kopiert die Datei start.h auf unserem Image. COPY SOURCE-Verzeichnis
   DESTINATTION-Verzeichnis
6 RUN chmod +x start.sh
7 CMD ["./start.sh"] #Die Datei start.h wird ausgefuehrt
```

Listing 9.2: Dockerfile (rosbridge)

Kapitel 10

Web-App

Die Web-App ist eine Browserapplikation, die manuelle Echtzeit Steuerung der Roboter und deren LED-Farben, unabhängig von deren Anzahl ermöglicht. Die Steuerung erfolgt über eine ROS-Schnittstelle "rosbridge" mit der sich die Web-App, über ein Javabibliothek "[roslibjs](#)", mit dem Rosserver verbinden kann, um Daten einzulesen oder zusenden.

10.1 React

React ist ein Javascript Bibliothek zum Entwickeln und Erstellen von Benutzeroberflächen. React ist ein Opensource Projekt, welche damals von Facebook jetzt Meta entwickelt wurde. Um in React Web-Applikationen zu erstellen, braucht man Grundkenntnisse in CSS, HTML und Javascript.

Die wichtigste Eigenschaft von React ist, dass die Zustände der Applikation und der Benutzeroberfläche synchronisiert agieren, das heißt, wenn Änderungen am Sourcecode vorgenommen werden, verändert sich auch die Benutzeroberfläche. React ist Komponenten basiert, ein Reactapp besteht daher aus vielen kleinen React-Komponenten, welche das Programmieren und die Wiederverwendbarkeit von Objekten erleichtern.

Kapitel 11

Fazit & Ausblick

11.1 Fazit

11.2 Ausblick

11.3 Eidesstattliche Erklärung

Wir, Cara Bettendorf, Maximilian Dösch, Kevin Heise und Moin Sammari, versichern hiermit, dass wir die **Projektarbeit** mit dem Thema

Roboterformation – Fortführung

selbstständig verfasst und keine anderen als die angegebenen Quellen und Hilfsmittel benutzt haben, wobei wir alle wörtlichen und sinngemäßsen Zitate als solche gekennzeichnet habe. Die Arbeit wurde bisher keiner anderen Prüfungsbehörde vorgelegt und auch nicht veröffentlicht.

Nürnberg, den 23.06.2022

CARA BETTENDORF, MAXIMILIAN DÖSCH, KEVIN HEISE UND MOIN SAMMARI